

В.М. Пишнєв

Державне конструкторське
бюро «Лівденне»
ім. М.К. Янгеля,
м. Дніпропетровськ

Порівняльна оцінка рентгенозахисних матеріалів на основі свинцевих і безсвинцевих наповнювачів

Comparative estimation of x-ray protective materials based on lead and nonleaded fillers

Цель роботи: Кількісне порівняння рентгенозахисних характеристик композиційних матеріалів зі свинцовими та бессвинцевими наповнювачами, що застосовуються для виготовлення медичних рентгенозахисних засобів.

Матеріали и методы: С використанням образців матеріалів, рентгеновської та дозиметричної апаратури протестувана методика обчислення коефіцієнтів ослаблення рентгеневого променя. Для трьох матеріалів з різними типами наповнювачів обчислені значення коефіцієнтів ослаблення в залежності від напруження на рентгеновській трубці в діапазоні 30–150 кВ. В якості наповнювачів використовувалися свинець, суміш оксидів редкоземельних елементів та суміш карбіда вольфрама з діоксидом цирконію. Побудовані графики залежності коефіцієнта ослаблення від свинцевого еквівалента від напруження на трубці.

Результаты: Розподілення в порядку зменшення захисних властивостей серед розглянутих матеріалів залежить від напруження на рентгеновській трубці. Коефіцієнт ослаблення матеріалів резко падає при підвищенні напруження. Просте порівняння різних матеріалів можливе тільки на непересекаючихся ділянках залежності удельного коефіцієнта ослаблення від напруження. З урахуванням вторинного променя застосування захисних засобів з коефіцієнтом ослаблення в низкоенергетичній області більше ~10³ технічески нецелесообразно. Сравнивальна характеристика матеріалів з різними типами наповнювачів з метою вибору матеріала для захисних засобів, слід ураховувати їх функціональність.

Выводы: Значимим показником для порівняння рентгенозахисних матеріалів різних типів є залежність удельного коефіцієнта ослаблення від анодного напруження на рентгеновській трубці. Необхідним умови придатності матеріала для захисних засобів є монотонність графіка цієї залежності в діапазоні працюючих напруженостей. Заданий свинцевий еквівалент малоінформативен використанням ним для бессвинцевих матеріалів.

Ключові слова: рентгенозахисні композиційні матеріали, бессвинцеві наповнювачі, удельний коефіцієнт ослаблення, свинцевий еквівалент.

Упродовж останніх кількох років більшість європейських країн і Російська Федерація прийняли вельми жорсткі обмеження використання свинцевих матеріалів в медицині [1]. Виробники рентгенозахисних матеріалів і продукції медичного призначення почали випускати індивідуальні тало-кальні засоби захисту від ікс-променів на основі бессвинцевих наповнювачів. Поява нових матеріалів викликала ряд питань у практикуючих лікарів і спеціалістів, зайнятих у довільній системі МОЗ України. Ситуація ускладнюється відсутністю в Україні національної нормативної бази щодо засобів захисту від ікс-променів. В Росії з 2001 р. введені в дію три стандарти [2–4], які є фактич-

Objective: Quantitative comparison of x-ray protective characteristics for composite materials based on lead and nonleaded fillers that are used for medical x-ray protective articles manufacturing.

Material and Methods: Procedure for computation of x-ray attenuation coefficients was tested with the use of the material samples, x-ray and dosimetric equipment. Then attenuation coefficient values depending on the x-ray tube voltage within the range of 30–150 kV were computed for three materials containing the fillers of various kind. Lead, mixture of rare-earth oxides and mixture of tungsten carbide with zirconium oxide were investigated as fillers. X-ray tube voltage dependence on attenuation coefficient and lead equivalent were drawn.

Results: Distribution of the places on diminution of protective properties among the materials depended on x-ray tube voltage. Attenuation coefficient of the materials fell sharply at voltage increase. A simple comparison of various materials was possible only on noncrossing parts of voltage dependence of specific attenuation coefficient. Taking into account secondary radiation the use of protective means having in low-energy range attenuation coefficient more than ~10³ was inexpedient. In order to compare the properties of materials containing fillers of various kind for the choice of protective material it should attract the reasons of functional expediency.

Conclusion: X-ray tube anode voltage dependence of specific attenuation coefficient is a significant index for comparison of x-ray protective materials of various kinds. Monotony of this dependence graph over the range of operational voltage is the necessary condition of material convenience for protective means. Indication of lead equivalent is uninformative as applied to nonleaded materials.

Key words: x-ray protective composite materials, nonleaded fillers, specific attenuation coefficient, lead equivalent

но перекладами однієїменних стандартів Міжнародної електротехнічної комісії, спрямовані на свинцеві захисні матеріали.

В Україні це ще справа майбутнього. Метою нашої роботи є кількісне порівняння захисних характеристик кількох матеріалів зі свинцевими і бессвинцевими наповнювачами в широкому діапазоні напруг на ікс-променевій трубці. Ширше її можна розглядати як стробу, по-перше, сформулювати деякі суттєві риси методичного підходу до оцінки порівняння захисних властивостей матеріалів різних типів, по-друге, надати вісім засобів засобів засобів інформацією, яка дозволяє лабораторії індивідуальні засоби захисту від ікс-променів.

Методика дослідження

Дослідження мало розрахунково-експериментальний характер. На першому етапі тестиували методику обчислення коефіцієнтів ослаблення матеріалів шляхом порівняння результатів розрахунків із результатами апаратурних вимірювань. Методика розрахунку дозволяє зважати на реальні спектральні характеристики джерела ікс-проміння – в ній не використовується поняття ефективної енергії проміння. Тестиування проводили на моноенергетичних ізотопних джерелах та ікс-променевих трубках із варіюванням напруги 20–150 кВ за допомогою зразків матеріалів простого та складного хемічного складу з відомими елементним складом і густинами. Деталі процесу тестиування не находимо як несуттєві для мети цієї роботи. Втім важливо, що в доступному для реальних вимірювань діапазоні коефіцієнтів ослаблення $K_{\text{осл.}} = 1 - 200$ максимальна розбіжність між їх розрахованими вимірюваними значеннями для зразків із різним елементним складом не перевищувала 10% в усьому діапазоні розглянутих напруг.

На другому етапі розраховували коефіцієнти ослаблення ікс-проміння в геометрії вузького струменя для композиційних матеріалів з трьома типами наповнювачів. Як наповнювачі розглядали свинець металевий (СВ); суміш оксидів рідкісноземельних елементів, церієву фракцію – оксиди лантану, церію, неодиму, празеодиму (РЗО); суміш карбіду вольфраму й діоксиду цирконію (ВЦ). Досліджувався діапазон напруг 30–150 кВ як найважливіший із практичного погляду – він охоплює переважну більшість рентгенодіагностичних процедур, від стоматології до томографії. Щоб одержати якісну картину зіставлення захисних властивостей, було прийнято, що 1) всі матеріали виготовлені на основі полівінілхлоридної матриці, в яку введено 60% рентгенопоглинаючого наповнювача; 2) всі зразки мають однакові товщини (2,7 мм) і густину (2,1 г/см³), тобто однакову масову товщину 0,567 г/см³. Спектри випромінення ікс-променевої трубки для різних анодних напруг були взяті з довідника [5].

Для зразків усіх типів наповнювача за допомогою одержаних значень коефіцієнтів ослаблення розраховували свинцеві еквіваленти при відповідній напрузі на променевій трубці. За результатами розрахунків було побудовано два типи залежностей: $K_{\text{осл.}}(U_a)$ і $S_{\text{екв.}}(U_a)$, які з різних боків характеризують функціональні властивості рентгенозахисних матеріалів. Залежність $S_{\text{екв.}}(U_a)$ для свинцевомісного матеріалу ϵ , крім того, додатковим тестом: якщо всі розрахунки виконані правильно, вона графічно має бути близькою до прямої горизонтальної лінії.

Розглянуті в цій роботі зразки є реальними матеріалами, в яких для наочності прийняті однакові густини та товщина. Фактично при такому підході оцінюються й порівнюються питомі масові коефіцієнти ослаблення ікс-проміння зазначеними матеріалами при різній напрузі на ікс-променевій трубці.

Результати та їх обговорення

Аналіз результатів розрахунків свинцевого еквівалента в 1-му і 3-му рядках табл. 2 для зразка зі свинцевим наповнювачем свідчить, що відхилення від номінального значення свинцевого еквівалента $S_{\text{екв.ном.}}^{\text{св}}$ (мм) не перевищує 1,6%. Останній для даного зразка визначається, як

$$S_{\text{екв.ном.}}^{\text{св}} = \frac{d \cdot \rho \cdot p}{100 \cdot \rho_{\text{св}}} + S_{\text{екв.}}^{\text{ПВХ}} = 0,301 + S_{\text{екв.}}^{\text{ПВХ}},$$

де d – товщина зразка (мм); ρ – густина зразка (г/см³); $\rho_{\text{св}}$ – густина металевого свинцю (11,3 г/см³); p – відсотковий (шрдомаси) вміст свинцю зразку; $S_{\text{екв.}}^{\text{ПВХ}}$ (мм) – свинцевий еквівалент полівінілхлоридної матриці в композиційному матеріалі (масова товщина ПВХ $d_m = 0,567$ г/см³; $0,4 = 0,227$ г/см³).

Для наочності нарис. 1 і 2 зображені графіки залежності від напруги на ікс-променевій трубці відповідно до коефіцієнта ослаблення й свинцевого еквівалента для трохроздільних матеріалів.

Як можна побачити з таблиць і графіків, розподіл у порядку зменшення захисних властивостей між роздільними матеріалами залежить від напруги на ікс-променевій трубці. В діапазоні напруг 30–65 кВ матеріали розташовані так: СВ, ВЦ, РЗО; в діапазоні 65–80 кВ – СВ, РЗО, ВЦ і в діапазоні 80–150 кВ – РЗО, СВ, ВЦ.

Найважливіша функція будь-яких засобів захисту – зниження експозиційної потужності дози ікс-проміння, що діє на об'єкт захисту. Оскільки в цій роботі порівнюються різні матеріали, а не засоби захисту яківся, припускається, що інші умови, які впливають на величину потужності дози за захистом (покрій і вага рентгенозахисного одягу, конструкція і масова товщина ширм та ін.), ідентичні. В цьому випадку якість захисту може бути охарактеризована єдиним параметром – коефіцієнтом ослаблення ікс-проміння.

Коефіцієнт ослаблення ікс-проміння різко падає при підвищенні напруги на ікс-променевій трубці. Для свинцевісногоматеріалу він змінюється на понад 5 порядків при збільшенні напруги з 30 до 150 кВ (табл. 1 ірис. 1), для РЗО-матеріалу – у понад 60 разів, для ВЦ-матеріалу – майже на 4 порядки. Для всіх роздільних матеріалів коефіцієнт ослаблення знижується монотонно. Вибір величини коефіцієнта ослаблення на етапі проектування засобів захисту здійснюється для максимальної напруги на ікс-променевій трубці, при якій планується їх використання (як правило, 100–125 кВ). Для розглянутих матеріалів такий підхід автоматично забезпечує збільшення коефіцієнта ослаблення,

Таблиця 1 – Залежність коефіцієнта ослаблення зразків із різними наповнювачами від напруги на ікс-променевій трубці

Dependence of attenuation coefficients of samples with different fillers on the voltage of x-ray tube

Зразок	Анодна напруга на ікс-променевій трубці, кВ								
	30	35	40	50	60	80	100	125	150
СВ	$1,33 \cdot 10^4$	$3,23 \cdot 10^4$	3750	283	72,5	15,4	8,35	6,06	4,60
РЗО	288	71,4	35,8	24,4	19,6	15,2	10,3	6,77	4,58
ВЦ	$2,39 \cdot 10^4$	1790	430	69,3	24,7	8,56	6,05	4,46	3,33

Таблиця 2 – Залежність свинцевого еквівалента (мм) зразка зі свинцевим наповнювачем від напруги на ікс-променевій трубці

Dependence of lead equivalent (mm) of the sample with lead fillers on the voltage of x-ray tube

Зразок	Анодна напруга на ікс-променевій трубці, кВ								
	30	35	40	50	60	80	100	125	150
СВ	0,302	0,305	0,306	0,307	0,308	0,310	0,310	0,310	0,311
$d_m = 0,227 \text{ г/см}^2$	0,006	0,006	0,006	0,006	0,006	0,006	0,006	0,006	0,008
	0,307	0,307	0,307	0,307	0,307	0,307	0,307	0,307	0,309

Таблиця 3 – Залежність свинцевого еквівалента (мм) зразків із різними наповнювачами від напруги на ікс-променевій трубці

Dependence of lead equivalent (mm) of the sample with different fillers on the voltage of x-ray tube

Зразок	Анодна напруга на ікс-променевій трубці, кВ								
	30	35	40	50	60	80	100	125	150
СВ	0,302	0,305	0,306	0,307	0,308	0,310	0,310	0,310	0,311
РЗО	0,097	0,097	0,098	0,133	0,181	0,308	0,361	0,337	0,310
ВЦ	0,202	0,202	0,202	0,202	0,202	0,213	0,240	0,238	0,230

а отже, й «додаткове» зниження потужності дози при переміщенні лівіше по осі напруг. Самемонотонність графіків (рис. 1) забезпечує таку можливість.

У медичній рентгенології прийнято характеризували ослаблювальні властивості захисних матеріалів в опосередковано, шляхом позначення їх свинцевого еквівалента. Поки абсолютна більшість медичних рентгенозахисних матеріалів виготовляється на основі свинцю, це було велими зручним і не могло приводити до непорозумінь під час інтерпретації результатів визначення захисних властивостей при різних напругах. Проте для захисних матеріалів з альтернативними наповнювачами описується такий спосіб має очевидні вади. Графіки на рис. 2 наочно ілюструють це: свинцевий еквівалент матеріалів з альтернативними наповнювачами істотно змінюється при варіюванні напруги, хоча вимога «незменшення» захисних властивостей при зниженні напруги на ікс-променевій трубці неухильно виконується (рис. 1).

Порівняння числових значень коефіцієнтів ослаблення в табл. 1 (див. також рис. 1) демон-

струє деяку перевагу РЗО-матеріалів при напругах на трубці понад 80 кВ. Крива ослаблення ВЦ-матеріалів повністю знаходитьсь дещо нижче кривої для свинцевимісних матеріалів і майже еквідистантна до неї. При напрузі на трубці менше 80 кВ СВ-матеріали мають, на перший погляд, велику перевагу перед РЗО- і ВЦ-матеріалами. Насправді ж це не так однозначно. Щоб зрозуміти чому, згадаємо про засоби захисту, для створення яких власній призначений ці матеріали, а також певні особливості практичного застосування. По-перше, реальний радіаційний стан у рентгенкабінеті визначається не лише прямим струменем ікс-променевої трубки, а й вторинним (розсіяним і відбитим) промінням, що створює умовно-ізотропний фон; потужність дози якого в залежності від обставин може складати від десятих часток до 1-2% потужності дози прямого струменя. По-друге, слід мати на увазі, що рентгенолог, ні пацієнта, які перебувають поблизу працюючого рентгенапарата, неможливо «купакувати» в захисний матеріал повністю – реальні засоби

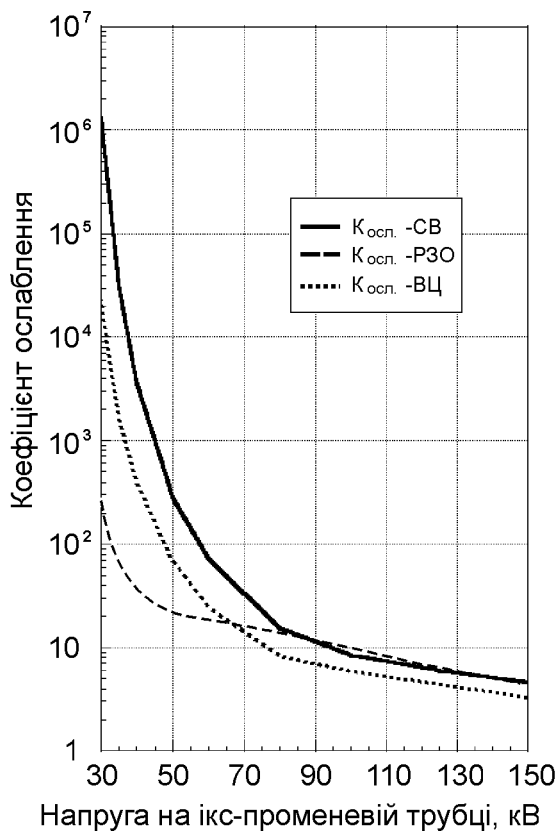


Рис. 1 – Графіки залежності коефіцієнта ослаблення ікс-проміння різними матеріалами від напруги на аноді ікс-променевої трубки (СВ – металевий свинець, РЗО – суміш оксидів рідкіснометальних елементів, ВЦ – суміш карбіду вольфраму та діоксиду цирконію)

Fig. 1 – Dependence of x-ray attention coefficients with different materials and anode voltage of x-ray tube (CB – metal lead, PZO – mixture of oxides of rare earth elements, WC – mixture of tungsten carbide and zirconium dioxide)

захисту, будь це одяг чи екран, не забезпечують повної просторової ізоляції від навколошнього середовища об'єкта, який підриває захисту.

Зробимо числову оцінку. Відома наближена формула для коефіцієнта ослаблення захисту з отворами

$$K_{\text{осл.}} \gg A / A_o ,$$

де A – загальна площа захисту; A_o – площа отворів, дозволяє оцінити внесок вторинного випромінення до потужності дози за захистом. Як можна побачити з формулами, при $A_o \gg (0,1...0,2)A$ ослаблення потужності дози вторинного випромінення складає $K_{\text{осл.}} \gg 5-10$, причому не залежить від коефіцієнта ослаблення матеріалу захисту. Враховуючи, що потужність дози вторинного випромінення складає близько 1% від потужності дози прямого струменя, в першому наближенні можна вважати, що незалежно від коефіцієнта ослаблення матеріалу захисного

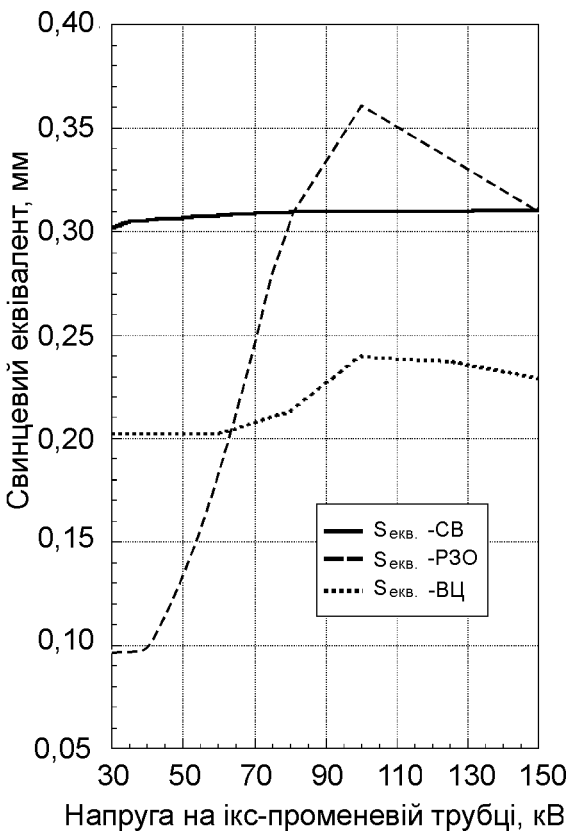


Рис. 2 – Графіки залежності свинцевого еквівалента різних матеріалів від напруги на аноді ікс-променевої трубки (позначки та ж, що на рис. 1)

Fig. 2 – Dependence of lead equivalent of different materials and anode voltage of x-ray tube (figure captions: see Fig. 1)

одягу або екрана, потужність дози вторинного випромінення за захистом буде складати близько 0,1% потужності дози первинного струменя.

Практично це означає недоцільність використання для захисту від прямого струменя промінням матеріалів із коефіцієнтом ослаблення понад 1000. Точніше, використовувати матеріали з більшим коефіцієнтом ослаблення технічно вигравдано лише за умови різкого збільшення відношення A/A_o . Тому перевага свинцевих матеріалів при низьких напругах, що видеться дуже великою (коефіцієнт ослаблення до $\sim 10^6$ проти $\sim 10^4$ для ВЦ-матеріалів і ~ 300 для РЗО-матеріалів у нашому випадку), є формальною або, в усіком разі, такою, що принципово неможливо реалізувати при проектуванні реальних зразків індивідуальних і локальних засобів захисту.

Аналіз кількох характеристик ослаблення ікс-проміння розглянутий матеріалами з ура-

хуванням вищеведених міркувань демонструє відмінності методичних підходів в порівнянні матеріалів на основі одного наповнювача і порівняння матеріалів із різними типами наповнювачів. У другому випадку для одержання порівняльних результатів доводиться застосовувати критерій порівняння, що спирається на уявлення про мету функціонування майбутнього виробу з того чи іншого матеріалу і виходить замежі сутоматеріалознавчих характеристик. Фактично, коли результатом порівняння має бути вибір одного з кількох матеріалів, доводиться балансувати між принципами віправданості й оптимізації [6], враховуючи водночас мінімізацію погужності дози, що діє на об'єкт захисту, санітарно-гігієнічні, вагові та варгісні характеристики засобів захисту для досягнення прийнятного компромісу.

Відзначимо, що для випадку застосування різних матеріалів на основі одного наповнювача підходить їх порівняння, по суті, однакової, проте через якісну незмінність залежності $K_{\text{спл.}}(U_a)$ критерій порівняння істотно спрощується до сутоматеріалознавчої характеристики – кількісного значення питомого коефіцієнта ослаблення (або свинцевого еквівалента) при заданій напрузі. В деяких випадках та для матеріалів на базі різних наповнювачів можна використовувати лише цю характеристику. Але для цього потрібно, щоб діапазон напруг експлуатації виробів даного класу збігався з розташуваннями порядку ділянок залежностей $K_{\text{спл.}}(U_a)$ для порівнюваних матеріалів.

Висновки

1. Розподіл у порядку зменшення захисних властивостей серед розглянутих матеріалів залежить від напруги на ікс-променевій трубці. У діапазоні напруг 30–65 кВ матеріали розташовані так: СВ, ВЦ, РЗО; в діапазоні 65–80 кВ – СВ, РЗО, ВЦ; в діапазоні 80–150 кВ – РЗО, СВ, ВЦ.

2. Значущим показником для порівняння рентгенозахисних матеріалів різних типів є залежність питомого коефіцієнта ослаблення (відношення коефіцієнта ослаблення матеріалу в геометрії вузького струменя до його масової товщини) від однієї напруги на ікс-

променевій трубці. Традиційний спосіб опишу захисних матеріалів за допомогою їх свинцевого еквівалента мало інформативний стосовно безсвинцевих матеріалів. Якщо використання поняття свинцевого еквівалента за якісно обставин неминуче, обов'язково потрібно, крімнього, зазначити її анодну напругу, при якій визначався свинцевий еквівалент.

3. Нормування захисних характеристик рентгенозахисних матеріалів примаксимальний експлуатаційний напругі вигравдане за умови такого вибору матеріалу, при якому автоматично забезпечується збільшення коефіцієнта ослаблення матеріалу при зниженні напруги на ікс-променевій трубці.

4. Для порівняння матеріалів на основі різних типів наповнювачів у загальному вигляді купотрібний комплексний критерій, що відбиває в тому числі функціональне призначення і, ймовірно, деякі конструктивні особливості виробів, для виготовлення яких вони призначенні. В окремих випадках або за певних умов як критерій для порівняння можна використовувати матеріалознавчу характеристику – питомий коефіцієнт ослаблення при заданій анодній напругі на ікс-променевій трубці.

Література

- Госкомитет Российской Федерации по охране окружающей среды. Доклад о свинцовом загрязнении окружающей среды и его влиянии на здоровье населения. – М., 1997.
- ГОСТ Р 51532–99. Средства защиты от рентгеновского излучения в медицинской диагностике. Ч. 1. Определение ослабляющих свойств материалов.
- ГОСТ Р 51532–99. Средства защиты от рентгеновского излучения в медицинской диагностике. Ч. 2. Защитные рентгеновские стекла.
- ГОСТ Р 51532–99. Средства защиты от рентгеновского излучения в медицинской диагностике. Ч. 3. Защитная одежда.
- Спектры излучения рентгеновских установок. Справочник / В. Н. Васильев, Л. А. Лебедев, В. П. Сидорин, Р. В. Ставицкий. – М. : Энергоатомиздат, 1990. – 144 с.
- Публикация 37 МКРЗ. Оптимизация радиационной защиты на основе анализа соотношения «затраты–выгода». – М. : Энергоатомиздат, 1985.

Дата надходження: 18.02.2002.

Адреса для листування:

Пишнев Володимир Миколайович,
вул. Вакуленчука, 7, кв. 91, Дніпропетровськ, 49061, Україна